

# **Rendering of Spherical Light Fields**

**Insung Ihm, Sanghoon Park, Rae Kyoung Lee  
Department of Computer Science  
Sogang University, Korea**

Präsentiert von:  
Philipp Gehr

Betreuer:  
Reto Lütolf

## **Übersicht**

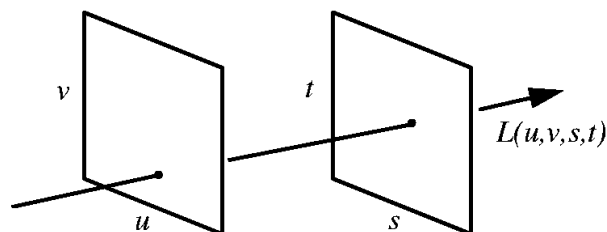
- **Einleitung und Motivation**
- **Spherical Light Field Rendering**
- **Wavelet-Kompression**
- **Experimentelle Resultate**
- **Abschliessende Bemerkungen,  
Persönliche Meinung**

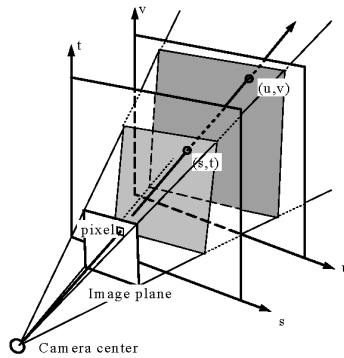
## Einleitung und Motivation

- Ziel der graphischen Datenverarbeitung:  
realistische Bilder + Real-Time
- Geometry-based Rendering vs.  
Image-based Rendering
- Plenoptic Function:  $Lichtfluss = P(x,y,z,\theta,\phi)$
- Durch geeignete Parametrisierung:  
Reduktion auf 4 Dimensionen

Einleitung und Motivation

- Light Fields:
  - Parameter  $(u,v,s,t)$
  - Light Slab





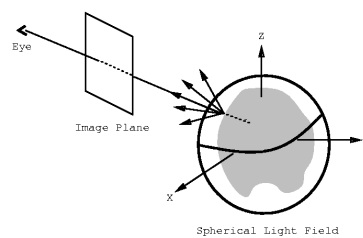
- **Lumigraph**

- **Spherical Light Fields: Parametrisierung mit Hilfe von sphärischen Koordinaten**
- **Image-space vs. Object-space**
- **Vorteil von Object-space Algorithmen: Einfache Einbettung in bestehende polygonale Rendering-Systeme**
  - **Hardware-Beschleunigung**
- **Hybride Rendering-Methoden**

- **Image-based Rendering Systems:**
  - Menge von Bildern
  - keine Tiefeninformationen
  - kein geometrisches Modell
  - keine Materialeigenschaften
  - keine Beleuchtungsmodelle
- **Vorteil: konstante Rendering-Kosten**
- **Nachteile:**
  - riesige Datenmengen
  - eingeschränkte Flexibilität

## Spherical Light Field Rendering

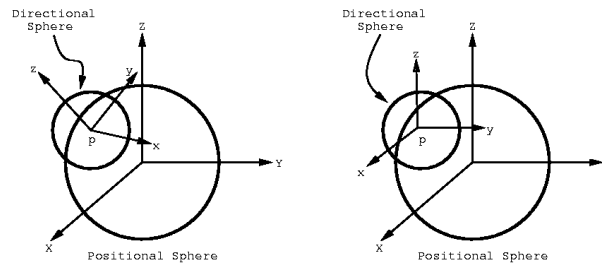
- **Darstellung / Parametrisierung:**
  - Punkt auf der Sphäre ( $\theta_p, \phi_p$ )
  - Lichtstrahl mit Richtung ( $\theta_d, \phi_d$ )
- **Resultat:  $C = (R, G, B) = \text{Ray}(\theta_p, \phi_p, \theta_d, \phi_d)$**



• **Positions-Sphäre und Richtungs-Sphären:**

Domains:  $\theta: 0 \leq \theta \leq 2\pi$

$\phi: -\pi/2 \leq \phi \leq \pi/2$



• **Diskretisierung:**

$$\text{Ray}(\theta_p, \phi_p, \theta_d, \phi_d) = f_d(\theta_d, \phi_d) = (f_p(\theta_p, \phi_p))(\theta_d, \phi_d)$$

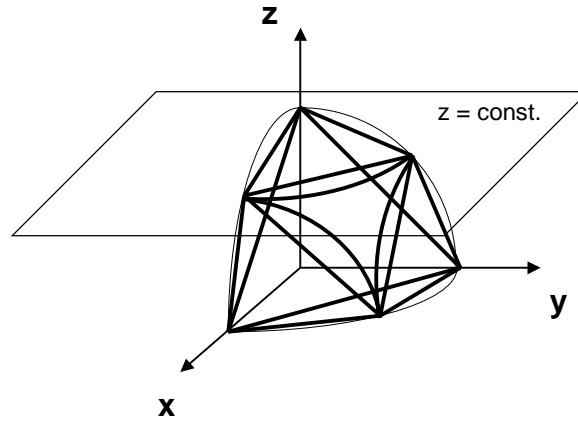
$$f_p: V \rightarrow (V \rightarrow C)$$

$$f_d: V \rightarrow C$$

$$V = \{(\theta, \phi) \mid 0 \leq \theta \leq 2\pi, -\pi/2 \leq \phi \leq \pi/2\}$$

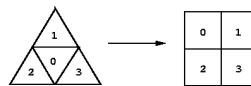
$$C = (R, G, B)$$

### Spherical Light Field Rendering

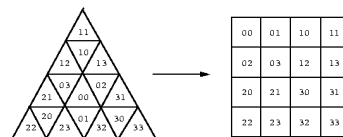


### Spherical Light Field Rendering

- Diskretisierung der Positions-Sphäre:  
Funktion  $f_p$  auf den Knoten des Polyeders, der die Positions-Sphäre approximiert, definiert
- Diskretisierung der Richtungs-Sphären:
  - Funktion  $f_d$  liefert Farbwerte der Dreiecke der Richtungs-Sphären
  - Daten in 2D-Array
  - Quadtree

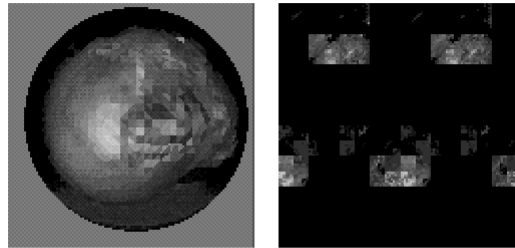


(a) Labeling order



(b) Level two subdivision

## Spherical Light Field Rendering



(a) A Flat-Shaded Directional Sphere

(b) Two Reordered Spheres

## Spherical Light Field Rendering

- **Polygonales Rendering of Spherical Light Fields:**

- früher: Ray Tracing
  - image-space Algorithmus
- Ziel: object-space Algorithmus
- Grund: - Integration in polygonales Rendering-System
  - Hardware-Beschleunigung

- **Algorithmus:**
  - versteckte Dreiecke aussortieren
  - jedem Knoten der Positions-Sphäre wird eine Farbe zugewiesen:
    - Projektionsrichtung beim Knoten  $(\theta_p, \phi_p)$  bestimmen
    - Punkt  $(\theta_d, \phi_d)$  auf Richtungs-Sphäre
    - Funktion  $\text{Ray}(\theta_p, \phi_p, \theta_d, \phi_d)$  auswerten
    - Farbwert (R,G,B)
  - Projektion der Dreiecke auf Bildebene
  - Bilineare Interpolation

- **Beispiel für polygonales Rendering-System:**  
OpenGL
- **Voraussetzungen für Hardware-Beschleunigung:**
  - Viewing
  - Culling
  - Smooth-Shading
- **Berechnungen in Software:**
  - Farbe eines Knotens  $(\theta_p, \phi_p)$  auf der Positions-Sphäre
  - diskrete Richtungs-Sphäre → Resampling:  
Nearest-neighbour Resampling

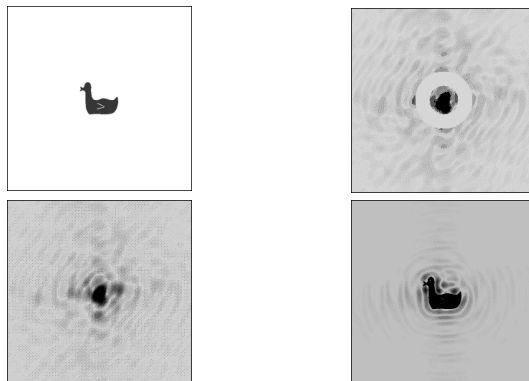


## Wavelet-Kompression

- riesige Datenmengen → Datenkompression
- Anforderungen an die Kompression:
  - Redundanz beseitigen
  - Kosten für Zugriff auf Daten minimal
- Wavelets: mathematisches Werkzeug zur hierarchischen Repräsentation von Funktionen

### Wavelet-Kompression

- JPEG (Joint Photographic Experts Group):
  - verlustbehaftete Kompression
  - Diskrete Cosinus-Transformation (DCT)
- Signale ( Bilddaten) werden in Anteile unterschiedlicher Frequenzen zerlegt



- **Quantisierung der Bildwerte**
- **Kodierung der quantisierten Koeffizienten  
+ Entropie-Kodierung**
- **Rücktransformation: Überlagerung von  
Cosinus-Schwingungen**
- **Blocking-Artefakte**

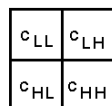
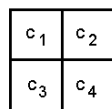


- **Wavelet-Transformation: Verwendung von  
kompakten Schwingung (Wavelets)**
- **Signal wird durch transformierte Versionen des  
Mutter-Wavelets zusammengesetzt**
- **Glättungsfilter (= Tiefpassfilter) → Mittelung**
- **Differenzenfilter (= Hochpassfilter) → Details**





- Wavelet-Kompression von Spherical Light Fields:
  - Haar-Wavelet-Zerlegung → effizient
  - konzeptioneller Quadtree



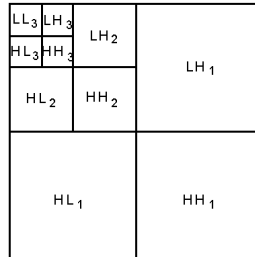
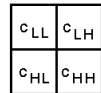
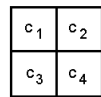
$$c_{LL} = \frac{c_1 + c_2 + c_3 + c_4}{4}$$

$$c_{LH} = \frac{c_1 + c_2 - c_3 - c_4}{4}$$

$$c_{HL} = \frac{c_1 - c_2 + c_3 - c_4}{4}$$

$$c_{HH} = \frac{c_1 - c_2 - c_3 + c_4}{4}$$

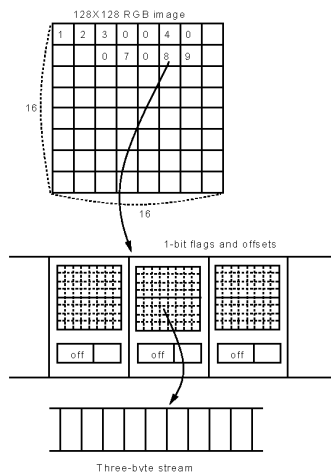
## Wavelet-Kompression



- **Wavelet-Zerlegung:**

- Ausgangslage: 128x128 Bild  
3 Bytes/Pixel
- während Zerlegung: 4 Bytes/Kanal
- Rundung auf 1 Byte/Kanal → 3 Bytes/Pixel
- Koeffizient  $< \tau$  → mit 0 ersetzen

## Wavelet-Kompression



- **Unterteilung in Blöcke**
- **Scannen und Markieren:**  
1 Byte/Markierung
- **Significance Map:**  
8x8 1-Bit Flag Block
- **Offset Information:**  
2 Bytes

→ **Koeffizienten-  
Quantisierung**

- **Farb-Extraktion aus der Richtungs-Sphäre = Farb-Rekonstruktion von wavelet-kodierten Bild = Inverse der Wavelet-Zerlegung:**

$c_1$	$c_2$
$c_3$	$c_4$



$c_{LL}$	$c_{LH}$
$c_{HL}$	$c_{HH}$

$$c_1 = c_{LL} + c_{HL} + c_{LH} + c_{HH}$$

$$c_2 = c_{LL} - c_{HL} + c_{LH} - c_{HH}$$

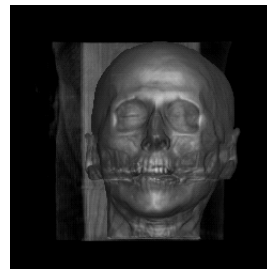
$$c_3 = c_{LL} + c_{HL} - c_{LH} - c_{HH}$$

$$c_4 = c_{LL} - c_{HL} - c_{LH} + c_{HH}$$

- **“gewöhnliche“ Dekodierung:**  
Quadtrees traversieren → Farbe eines Pixels
- **Inkrementelle Dekodierung:**
  - effizientere Berechnung
  - Pfad 2er benachbarter Rekonstruktions-Prozesse sind oft ähnlich  
→ Kopie des gerade berechneten Pfades
  - Man vergleicht nun lediglich den gespeicherten mit dem neuen Pfad und übernimmt die Farbwerte der gemeinsamen Knoten des Quadtrees

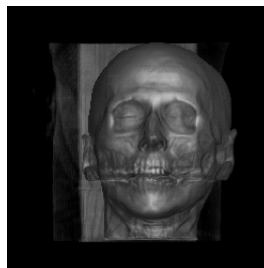
## **Experimentelle Resultate**

- **Implementation auf einer SGI Indigo 2 (200 MHz R4400 CPU, 256 MB Main Memory, Hight IMPACT Graphikkarte)**
- **Rohdaten: CT-Scan eines menschlichen Kopfes**
- **Volume Ray Casting Software, um die Spherical Light Fields zu erzeugen**

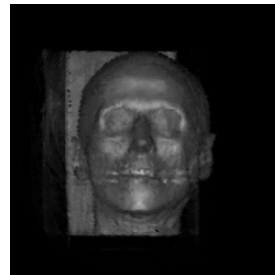
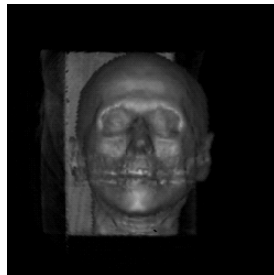
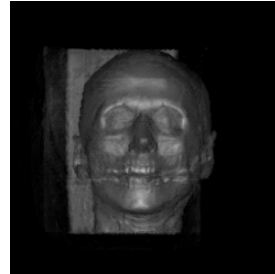
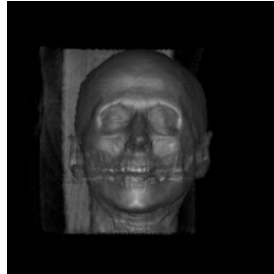
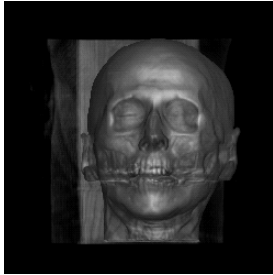


### **Experimentelle Resultate**

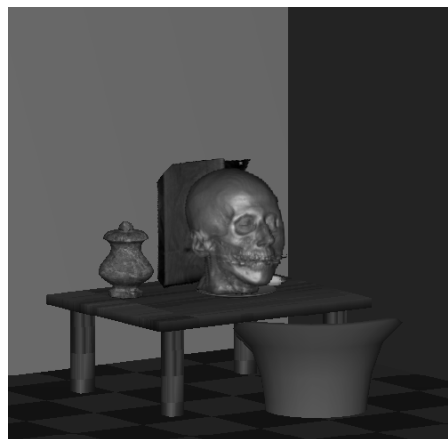
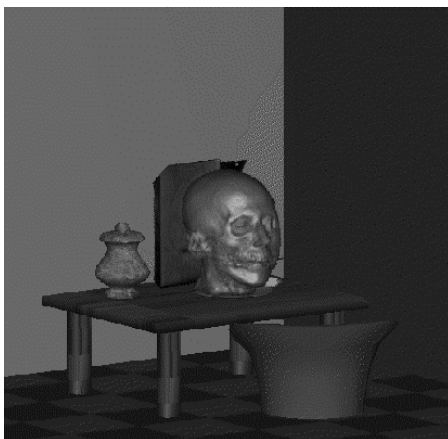
- **Spherical Light Fields: 380 MB bis 1.5 GB**
- **Speicherplatz proportional zu:**
  - **Anzahl Knoten der Positions-Sphäre**
  - **Anzahl Dreiecke der Richtungs-Sphären**



Experimentelle Resultate



Experimentelle Resultate



## **Abschliessende Bemerkungen, persönliche Meinung**

- zukünftige Arbeiten:
  - Anzahl Knoten der Positions-Sphäre reduzieren, ohne jedoch die Qualität zu senken
  - flüssigere Animationen
  - weniger Speicherplatz
- Vorteile:
  - realistische Darstellung in Real-time
  - Hardware-Beschleunigung
  - hybrides Rendering
- Nachteil:
  - Real-time wird (noch) nicht wirklich erreicht